

# Уравнение водоворота

## Оглавление

1. Введение
  2. Основная математическая модель
  3. Уравнения гидродинамики для водоворота
  4. Вычислительный алгоритм
  5. Анализ уравнений водоворота
  6. Потоки энергии
  7. Выводы
- Приложение  
Литература

## Аннотация

Недавно появилась математическая модель океанических водоворотов [1], которая практически полностью совпадает с моделями, построенными для космических черных дыр. Сходство между водоворотами и черными дырами обнаруживается в том, что нечто, оказавшееся вблизи этих объектов, вовлекается в них и никогда не возвращается. Столь далекая аналогия подчеркивает (на наш взгляд), как далека от завершения математическая модель водоворотов. Ниже автор тоже предпринимает попытку построения такой модели. Предлагаемая модель, как и вышеупомянутая, строится на базе одной теории – теории относительности. Но предлагаемая модель более приземлена (или, если хотите, приводнена), поскольку используются также и уравнения гидродинамики, и следствия из теории относительности, выполняющиеся только в условиях слабого земного притяжения.

Интересен еще вопрос об источнике энергии, позволяющей водовороту длительное время вращаться в окружении неподвижных вод. Этот вопрос становится еще более важным в связи с тем, что именно водовороты (а не Луна) являются источниками энергии для приливов и отливов [2]. В [1] источник энергии водоворотов не анализируется. Ниже показывается, что этим источником является гравитационное поле Земли.

---

## 1. Введение

В предлагаемой ниже математической модели водоворота используется система максвеллоподобных уравнений гравитации [6]. Модель основана на следующих предположениях. Движение воды уподобляется массовым токам. Массовые токи в гравитационном поле описываются максвеллоподобными уравнениями гравитации [6] (далее – МПГ-уравнениями). Взаимодействие между движущимися массами описывается гравитомагнитными силами Лоренца (далее ГЛ-силы), аналогичными силам Лоренца в электродинамике, действующими между движущимися электрическими зарядами. ГЛ-силы имеют вид

$$F_L = J \times B, \quad (1)$$

где гравитомагнитная индукция

$$B = G\xi H, \quad (2)$$

Здесь  $G$  - гравитационная постоянная,  $\xi$  - гравитомагнитная проницаемость среды. Необходимо пояснить смысл этой величины. В [6] анализируются недавние результаты работ Самохвалова, который задумал и выполнил серию неожиданных и удивительных экспериментов. Эти эксперименты в [6] объясняются наличием гравитомагнитных сил Лоренца. Важно отметить, что наблюдаемые эффекты настолько значительны, что для их объяснения в рамках указанных максвеллоподобных уравнений гравитации необходимо дополнить эти уравнения некоторым эмпирическим коэффициентом  $\xi$ . Грубая оценка гравитационной проницаемости вакуума  $\xi \approx 10^{10}$ , но она резко уменьшается с увеличением давления. Можно полагать, что воздух является экраном для магнитогравитационной индукции благодаря тому, что в нем под действием этой индукции возникают массовые токи (аналогичные токам Фуко. Тогда надо ожидать, что в воде, где массовые токи воды взаимодействуют без воздушного экрана, величина гравитационной проницаемости приближается к указанному значению для вакуума.

Итак, в потоках воды действуют ГЛ-силы (1, 2) или

$$F_L = G\xi(J \times H). \quad (3)$$

В водовороте токи создают напряженности; токи вместе с напряженностями создают силы Лоренца; силы Лоренца воздействуют на массы, движущиеся в токе, изменяя тем самым направление токов. Все эти процессы вместе описываются уравнениями Максвелла, в которых силы Лоренца исключены.

---

Однако эти процессы можно проследить последовательно и связать их с уравнениями Максвелла. Ниже мы рассмотрим это подробнее. Впрочем, аналогичный анализ можно проделать и для провода с постоянным током [4].

Массовые токи в водовороте циркулируют по горизонтальным сечениям водоворота и по вертикали. Кинетическая энергия такой циркуляции расходуется на потери от внутреннего трения. Она поступает от гравитирующего тела - Земли. Потенциальная энергия водоворота не изменяется и, следовательно, не расходуется. Т.е. в этом случае нет преобразования потенциальной энергии в кинетическую и обратно. Однако гравитирующее тело расходует свою энергию на создание и поддержание массовых токов - см. приложение.

## 2. Основная математическая модель

Предлагаемую математическую модель интересно сопоставить с реальным водоворотом – см. рис. 0.



Рис. 0а.



Рис. 0в.

МПП-уравнения для гравитомангнитных напряженностей  $H$  и плотностей массовых токов  $J$  в стационарном гравитомангнитном поле имеют вид:

$$\operatorname{div}(\mathbf{H}) = 0, \quad (1)$$

$$\operatorname{rot}(\mathbf{H}) = \mathbf{J}, \quad (2)$$

При моделировании водоворота будем использовать цилиндрические координаты  $r, \varphi, z$ . Тогда МПП-уравнения примут вид:

$$\frac{H_r}{r} + \frac{\partial H_r}{\partial r} + \frac{1}{r} \cdot \frac{\partial H_\varphi}{\partial \varphi} + \frac{\partial H_z}{\partial z} = 0, \quad (3)$$

$$\frac{1}{r} \cdot \frac{\partial H_z}{\partial \varphi} - \frac{\partial H_\varphi}{\partial z} = J_r, \quad (4)$$

$$\frac{\partial H_r}{\partial z} - \frac{\partial H_z}{\partial r} = J_\varphi, \quad (5)$$

$$\frac{H_\varphi}{r} + \frac{\partial H_\varphi}{\partial r} - \frac{1}{r} \cdot \frac{\partial H_r}{\partial \varphi} = J_z. \quad (6)$$

Кроме того, токи должны удовлетворять условию непрерывности

$$\operatorname{div}(J) = 0, \quad (7)$$

или, в цилиндрических координатах,

$$\frac{J_r}{r} + \frac{\partial J_r}{\partial r} + \frac{1}{r} \cdot \frac{\partial J_\varphi}{\partial \varphi} = 0. \quad (8)$$

Эти уравнения описывают, в сущности, процессы взаимодействия токов, напряженностей и сил Лоренца, а именно

1. напряженность гравитационного поля направлена вдоль оси водоворота,
2. она создает вертикальный поток масс - массовый ток  $J_z$ ,
3. вертикальный ток  $J_z$  формирует кольцевое гравитомагнитное поле с напряженностью  $H_\varphi$  и радиальное гравитомагнитное поле  $H_r$  - см. (6),
4. гравитомагнитное поле  $H_\varphi$  отклоняет ГЛ-силами массы вертикального потока в радиальном направлении, создавая радиальный поток масс - радиальный массовый ток  $J_r$ ,
5. гравитомагнитное поле  $H_\varphi$  отклоняет ГЛ-силами массы радиального потока перпендикулярно радиусам, создавая вертикальный массовый ток  $J_z$ ,
6. гравитомагнитное поле  $H_r$  отклоняет ГЛ-силами массы вертикального потока перпендикулярно радиусам, создавая кольцевой массовый ток  $J_\varphi$ ,
7. гравитомагнитное поле  $H_r$  отклоняет ГЛ-силами массы кольцевого потока перпендикулярно радиусам, создавая вертикальный массовый ток  $J_z$ ,
8. массовый ток  $J_r$  формирует вертикальное гравитомагнитное поле  $H_z$  и кольцевое гравитомагнитное поле  $H_\varphi$ , - см. (4),
9. массовый ток  $J_\varphi$  формирует вертикальное гравитомагнитное поле  $H_z$  и радиальное гравитомагнитное поле  $H_r$  - см. (5),

10. массовый ток  $J_z$  формирует кольцевое гравитомагнитное поле  $H_\varphi$  и радиальное гравитомагнитное поле  $H_r$  - см. (6),

ГЛ-силы можно найти следующим образом. Преобразуем (1.3):

$$F_L = G \cdot \xi \cdot S_o. \quad (9)$$

где

$$S_o = (J \times H). \quad (10)$$

Это векторное произведение в цилиндрических координатах имеет вид [5]:

$$S_o = \begin{bmatrix} S_{or} \\ S_{o\varphi} \\ S_{oz} \end{bmatrix} = \begin{bmatrix} J_\varphi H_z - J_z H_\varphi \\ J_z H_r - J_r H_z \\ J_r H_\varphi - J_\varphi H_r \end{bmatrix} \quad (11)$$

Таким образом, при известном решении системы уравнений (3-6, 8) могут быть найдены ГЛ-силы по (9-11).

### 3. Уравнения гидродинамики для водоворота

Водоворот, как движение воды, удовлетворяет также уравнению Навье-Стокса для вязкой несжимаемой жидкости. Для стационарного течения это уравнение имеет следующий вид (см., например, [6]):

$$\operatorname{div}(v) = 0, \quad (16)$$

$$\nabla p - \mu \cdot \Delta v + \rho(v \cdot \nabla)v - \rho F_m = 0, \quad (17)$$

где

$\rho$  - постоянная плотность воды,

$\mu$  - коэффициент внутреннего трения,

$p$  - давление,

$v$  - скорость течения в данной точке, вектор,

$F_m$  - массовая сила, вектор.

Массовый ток и скорость течения связаны очевидным соотношением

$$J = \rho \cdot v, \quad (18)$$

Следовательно, уравнения (7) и (16) идентичны, а уравнение (17) можно переписать в виде

$$\nabla p - \frac{\mu}{\rho} \cdot \Delta J + \frac{1}{\rho} (J \cdot \nabla) J - \rho \cdot F_m = 0. \quad (19)$$

---

Массовыми силами здесь являются ГЛ-силы  $F_L$  и силы тяжести  $P$

$$F = \{F_L, P\}. \quad (20)$$

При определенных токах и напряжениях эти силы могут быть вычислены по (2.9-2.11). При известных токах и силах по (19) может быть найдено давление. Следовательно, система уравнений

$$(2.3-2.6, 2.8-2.11, 19, 20) \quad (21)$$

является системой уравнений водоворота, позволяющей найти распределение скоростей и давлений в теле водоворота.

## 4. Вычислительный алгоритм

Решение системы (3-6, 8) в виде сепарабельных относительно координат функций имеет следующий вид (что можно проверить непосредственной подстановкой):

$$H_r = \eta \cdot f_8(r) \cdot \exp(\eta \cdot z) \quad (1)$$

$$H_\varphi = \eta \cdot f_2(r) \cdot \exp(\eta \cdot z) \quad (2)$$

$$H_z = f_3(r) \cdot \exp(\eta \cdot z) \quad (3)$$

$$J_r = -\eta^2 f_2(r) \cdot \exp(\eta \cdot z), \quad (4)$$

$$J_\varphi = \eta^2 f_7(r) \cdot \exp(\eta \cdot z), \quad (5)$$

$$J_z = \eta \cdot f_{10}(r) \cdot \exp(\eta \cdot z), \quad (6)$$

где

$$f_2(r) = -q \cdot e^{br^m} \quad (7)$$

$$f_8(r) = -h \cdot e^{br^m} \quad (8)$$

$$f_{10}(r) = \left( \frac{f_2(r)}{r} + f_2'(r) \right), \quad (9)$$

$$f_3(r) = - \left( \frac{f_8(r)}{r} + f_8'(r) \right), \quad (10)$$

$$f_7(r) = f_8(r) - \frac{1}{\eta^2} f_3'(r), \quad (11)$$

$h, q, b, m, \eta$  – некоторые константы.

Алгоритм решения системы (3.21) может быть, например, таким:

1. определяются напряжения и токи по (1-6),
2. определяются ГЛ-силы по (2.9-2.11),
3. определяются массовые силы по (3.20),
4. определяются давления по (3.19).

---

## 5. Анализ уравнений водоворота

Далее мы будем анализировать решение (4.1-4.6).

Начало координат расположим на поверхности океана, а ось  $oz$  направим вертикально вверх. Тогда при  $z < 0$  и  $\eta > 0$  величина направление тока  $J_z$  определяется его знаком, причем ток направлен вверх или вниз, если  $\text{sign}(J_z) > 0$  или  $\text{sign}(J_z) < 0$  соответственно. Существует некоторый радиус  $r = R_b$ , при котором  $J_z = 0$ . Назовем  $R_b$  радиусом "вертикального спокойствия".

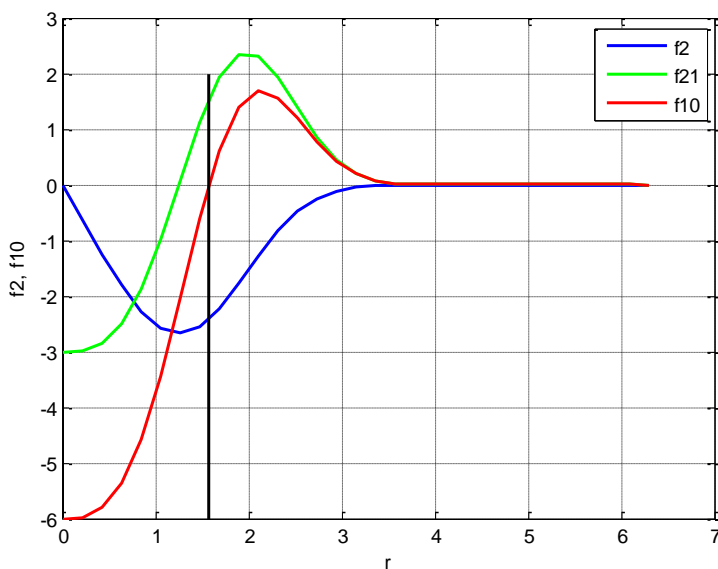
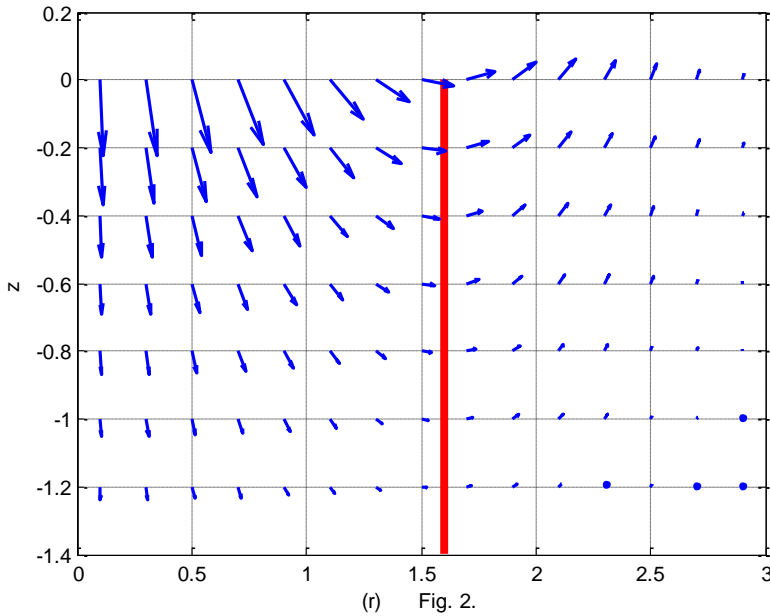


Рис. 1.

На рис. 1 показаны функции  $f_2(r)$ ,  $f'_2(r)$ ,  $f_{10}(r)$  при  $q=3$ ,  $\beta = -0.17$ ,  $m=3$ . Показана также вертикаль при  $R_b = 1.6$ .

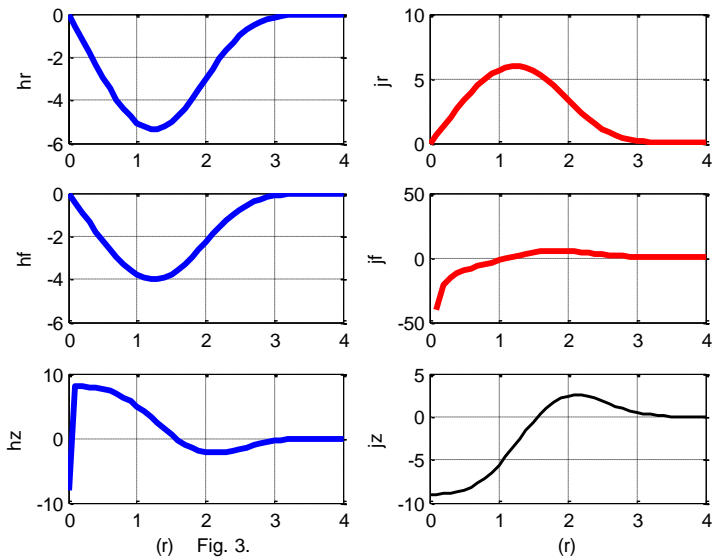
Итак, существует некоторый радиус "вертикального спокойствия", на котором вертикальный ток воды отсутствует ( $J_z = 0$ ), а ближе к центру водоворота ток воды направлен вниз ( $J_z < 0$ ), но при удалении от этого радиуса вода поднимается вверх ( $J_z > 0$ ). Таким образом, вода окружающего океана вливается в воронку с этим радиусом "вертикального спокойствия".



Рассмотрим векторное поле токов  $J_r$ ,  $J_z$  в вертикальной плоскости сечения водоворота. На рис. 2 представлен фрагмент этого поля для частей плоскости  $r = 0, 3$  и  $z = 0, -1.4$  при том же значении констант. Показана также "вертикаль спокойствия". Видно, что массовые токи (эквивалентные скоростям) резко уменьшаются с увеличением расстояния до центра водоворота.

Таким образом, массовые токи в водовороте циркулируют по вертикали. При этом в малой центральной области масса воды с большой скоростью опускается вниз, а в отдаленной, но значительной по объему области, с малой скоростью поднимается вверх. На свободной поверхности океана вдоль оси образуется углубление, а вдоль границ образуется возвышение – это можно увидеть на рис. 2, если мысленно объединить концы стрелок на верхней горизонтали. Вода с возвышения устремляется в углубление. Кинетическая энергия такой циркуляции расходуется только на потери от внутреннего трения. Потенциальная энергия водоворота не изменяется. Т.е. в этом случае нет преобразования потенциальной энергии в кинетическую и обратно. Однако (как уже указывалось) гравитирующее тело расходует свою энергию на создание и поддержание массовых токов - см. приложение.





Рассмотрим те части сепарабельных функций (1-6), которые зависят от координаты  $r$ . На рис. 3 представлены графики этих частей  $h_r$ ,  $h_\varphi$ ,  $h_z$ ,  $j_r$ ,  $j_\varphi$ ,  $j_z$  при прежних значениях констант.

Рассмотрим теперь векторное поле токов  $J_r$ ,  $J_\varphi$  на окружности в горизонтальной плоскости водоворота при прежних значениях констант – см. рис. 4. Здесь кружками обозначены анализируемые точки, расположенные на "пунктирных" радиусах. "Зеленые (бледные)" короткие отрезки показывают векторы токов, пропорциональные скоростям, а "синие (темные)" отрезки объединяют концы этих векторов. Видно, что распределение векторов напоминает рис. 0. Видно, что на малых радиусах скорости направлены по касательной к окружности, а с увеличением радиуса увеличиваются радиальные составляющие общей скорости, но общие скорости уменьшаются.

На рис. 5 представлены еще графики токов  $j_r$ ,  $j_\varphi$ ,  $j_z$  в зависимости от  $z$  при нескольких значениях  $r$  и при прежних значениях констант.

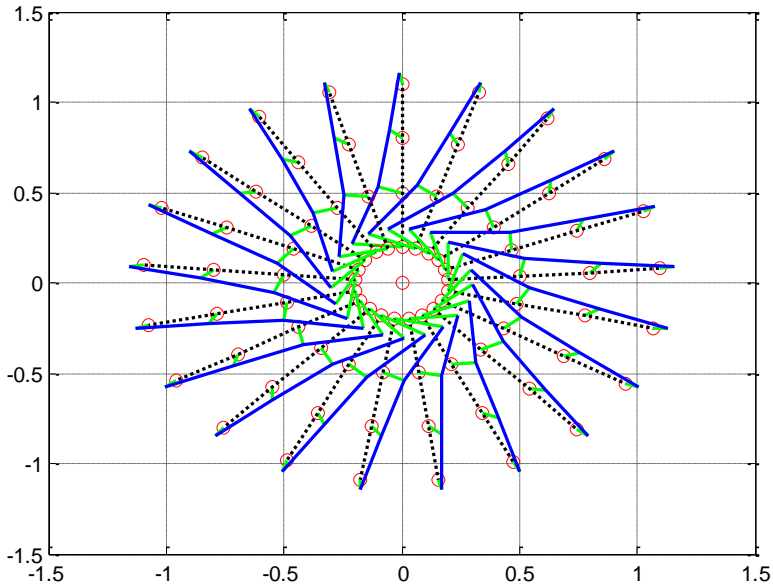


FIG. 4.

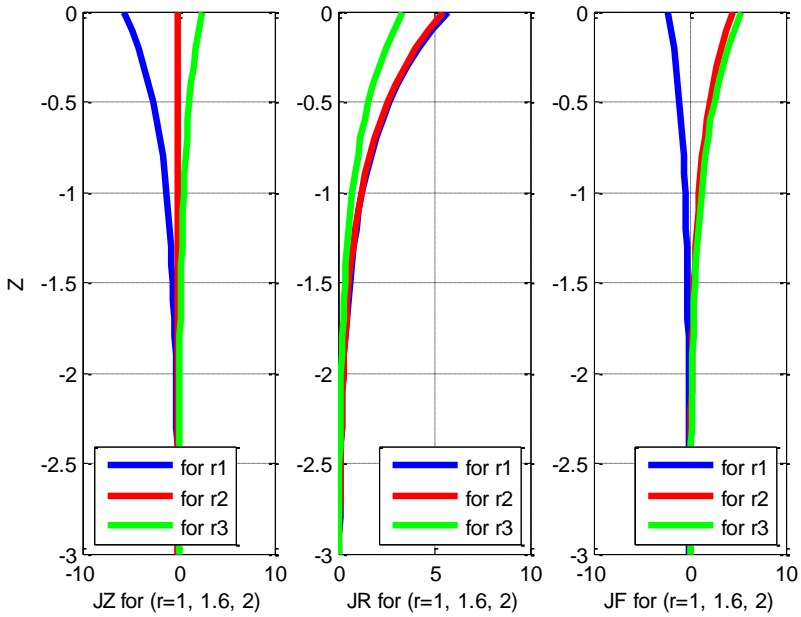


Рис. 5.

---

## 6. Потоки энергии

По (2.11) определены проекции вектора плотности потока гравитомангнитной энергии  $S_{or}, S_{o\varphi}, S_{oz}$ . Вектор потока энергии на окружности сечения горизонтальной плоскости определяется как

$$(S_r, S_\varphi, S_z) = 2\pi \cdot r \cdot (S_{or}, S_{o\varphi}, S_{oz}). \quad (1)$$

Кроме того, мы будем определять суммарный поток энергии

$$S = \sqrt{(S_r^2 + S_\varphi^2 + S_z^2)}. \quad (2)$$

На рис. 6 представлены проекции векторов (1, 2) в зависимости от  $z$  при нескольких значениях  $r$  и при прежних значениях констант.

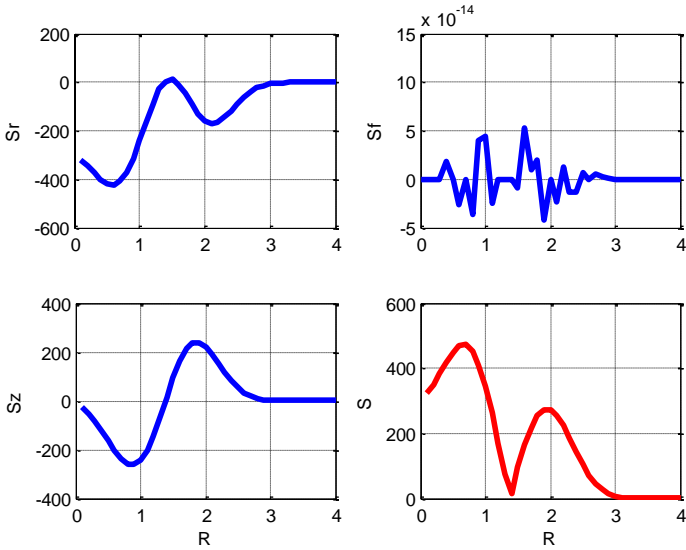


Рис. 6.

На рис. 7 представлены проекции векторов (1, 2) на плоскости вертикального сечения водоворота в зависимости от  $z$  при нескольких значениях  $r$  и при прежних значениях констант. Видно, что величина потока энергии убывает от центра струи вниз и вбок.

На рис. 8 показаны проекции векторов (1, 2) на плоскости вертикального сечения при прежних значениях констант. Видно, что вертикальный поток энергии меняет знак в зависимости  $r$ . Существуют такие значения констант (они применены в данном случае), при которых суммарный поток энергии в каждом горизонтальном сечении равен нулю.

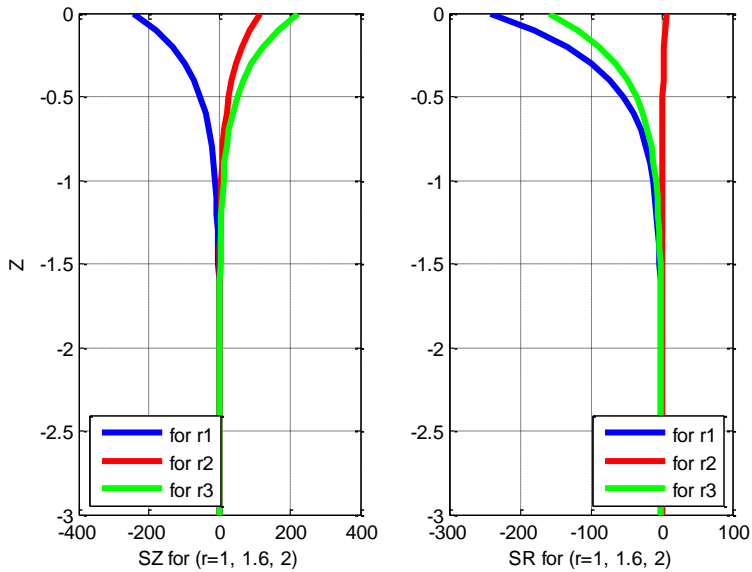


Рис. 7.

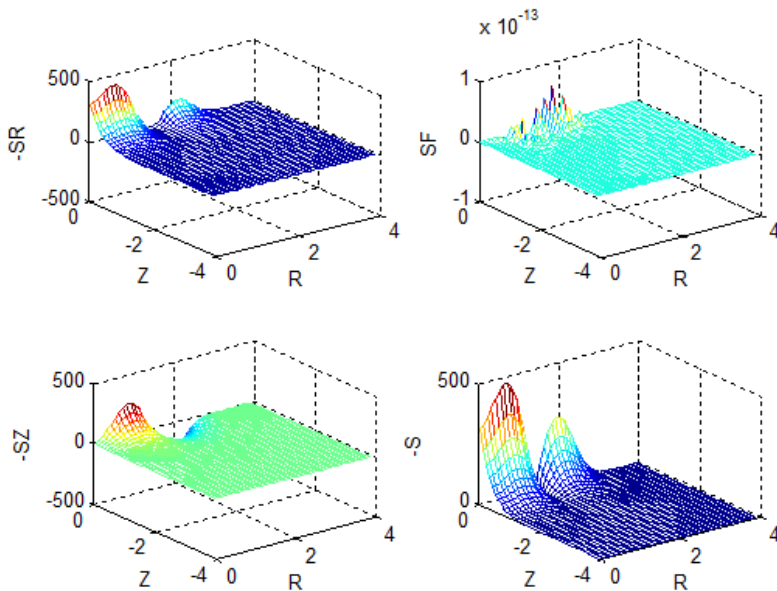


Рис. 8.

Таким образом, в водовороте поток энергии циркулирует по вертикали. Следовательно, энергия вертикальной циркуляции остается постоянной. Потенциальная энергия водоворота также остается постоянной. Таким образом, в этом случае нет

преобразования потенциальной энергии в кинетическую и обратно. Поток энергии по окружности отсутствует. Радиальный поток энергии распространяется к центру и расходуется на компенсацию потерь от внутреннего трения. Эта энергия может поступать только извне – от гравитирующего тела (как уже указывалось - см. приложение).

Рассмотрим еще кинетическую энергию массовых токов на окружности сечения горизонтальной плоскости. Эта энергия пропорциональна величинам

$$(W_r, W_\varphi, W_z) = 2\pi \cdot r \cdot (J_r^2, J_\varphi^2, J_z^2) \quad (3)$$

$$W = (W_r + W_\varphi + W_z). \quad (4)$$

На рис. 9 представлены эпюры энергий (3, 4) на плоскости вертикального сечения водоворота при прежних значениях констант. Указаны также суммарные значения каждого вида энергии. Видно, что наибольшую величину имеет энергия круговых токов и эта энергия сосредоточена в узкой центральной трубке.

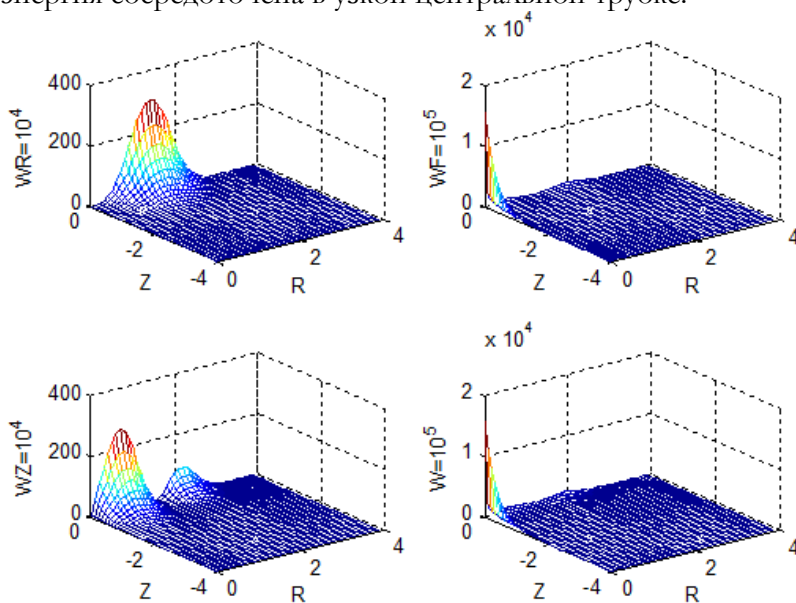


Рис. 9.

## 7. ВЫВОДЫ

На основе принятых предположений построена система уравнений водоворота и найдено одно из возможных решений. Это решение объясняет наблюдаемые явления, а именно

- вертикальную циркуляцию воды: активное падение воды в центре водоворота и подъем воды из глубин с низкой скоростью, но на большом пространстве,
- горизонтальное вращение воды по окружности с формированием линейных волн, образующих некоторый угол к касательной этой окружности,
- существование источника энергии водоворота в спокойном океане.

## Приложение

Консервативные силы (по определению) не совершают работу по замкнутой траектории. Сила тяжести является консервативной (что доказывается математически). Отсюда делается вывод о том, что

1) не существует двигатель, использующий только консервативные силы (в частности, силы тяжести) для выполнения работы.

Далее *бездоказательно* делается вывод о том, что

2) **не** существует двигатель, использующий **энергию** источника консервативных сил (в частности, сил тяжести) для выполнения работы.

Кулоновские силы также являются консервативными. Отсюда по аналогии можно сделать вывод 1). Однако вывод 2) легко опровергается: существует, например, двигатель постоянного тока с самовозбуждением. В нем источником энергии является источник постоянного напряжения, т.е. источник кулоновских сил. Следовательно, в общем случае неверно утверждение 2), а верно следующее утверждение

3) **может** существовать двигатель, использующий **энергию** источника консервативных сил для выполнения работы.

Тем не менее, существование двигателя, использующего энергию источника **электрических консервативных** сил (ИЭКС), еще не означает, что существует двигатель, использующий энергию источника **гравитационных консервативных** сил (ИГКС).

Электрические силы создают движение зарядов по замкнутой траектории – *электрический ток*, который формирует магнитное поле. При этом энергия ИЭКС превращается в магнитную энергию. Это происходит даже в том случае, если для движения зарядов по замкнутой траектории не затрачивается энергия. Таким образом, энергия ИЭКС превосходит энергию механического движения зарядов. В этом – причина существования двигателя, использующего энергию ИЭКС.

---

Гравитационные силы также могут создать движение масс по замкнутой траектории – *массовый ток*. Предположим, что массовый ток тоже формирует *гравитоманнитное поле* (это показано в [6]) Тогда по аналогии с предыдущим, можно предположить, что

4) **может** существовать двигатель, использующий **энергию** источника **гравитационных** консервативных сил для выполнения работы.

Это не противоречит закону сохранения энергии: в работу превращается энергия ИГКС, а источник энергии ИГКС теряет часть своей энергии (нельзя утверждать, что энергия ИГКС может быть использована только для выполнения работы по перемещению масс).

## Литература

1. Francisco J. Beron-Vera, Yan Wang, María J. Olascoaga, Gustavo J. Goni, George Haller, Objective Detection of Oceanic Eddies and the Agulhas Leakage. J. Phys. Oceanogr., 43, 1426–1438, 2013
2. Хизиров Ю.С. Приливы и отливы - результат прецессии водоворотов. «Доклады независимых авторов», изд. «DNA», ISSN 2225—6717, Россия – Израиль, 2015, вып. 33, ISBN 978-1-329-02052-8, printed in USA, Lulu Inc., ID 16537771.
3. Хмельник С.И. Математическая модель песчаного вихря, там же и <http://vixra.org/pdf/1504.0169v3.pdf>
4. Хмельник С.И. Структура постоянного тока, там же и <http://vixra.org/pdf/1503.0241v2.pdf>
5. Хмельник С.И. Структура потока электромагнитной энергии в проводе с постоянным током, там же и <http://vixra.org/pdf/1504.0061v1.pdf>
6. Хмельник С.И. Еще об экспериментальном уточнении максвеллоподобных уравнений гравитации, «Доклады независимых авторов», изд. «DNA», printed in USA, ISSN 2225-6717, Lulu Inc., ID 14407999, Россия-Израиль, 2014, вып. 25, ISBN 978-1-304-86256-3, <http://lib.izdatelstwo.com/Papers/25.62.pdf>, см. также <http://vixra.org/pdf/1404.0089v1.pdf>
7. Хмельник С.И. Уравнения Навье-Стокса. Существование и метод поиска глобального решения. Вторая редакция, 2011, изд. “MiC”, printed in USA, Lulu Inc., ID 9971440, ISBN 978-1-4583-1953-1.